南アフリカ共和国 Witwatersrand 盆地のシュードタキライト

久 田 英 子*

Review of Pseudotachylites in the Witwatersrand Basin , South Africa Eiko HISADA *

Abstract

The Vredefort Dome, located in the central part of the Witwatersrand Basin in South Africa, is the type locality for pseudotachylite. Pseudotachylite at the Vredefort Dome is generally regarded to be of impact origin. Pseudotachylites which are closely associated with faults are, however, also known to be common along the northern and northwestern edges of the Witwatersrand Basin. In order to compare pseudotachylites from the Vredefort Dome and from the surrounding Witwatersrand Basin, different studies were undertaken in the past. Mode of occurrence, microscopic textures, geochemical analyses and chronological measurements of pseudotachylites are briefly reviewed in this paper.

In the Vredefrot Dome, pseudotachylites are commonly observed except in the central part of its core. In the surrounding Witwatersrand Basin, they are reported from drill core sections and in underground workings. The matrix in pseudotachylite from the Vredefort Dome is mostly a recrystallized melt phase, while those from the surrounding Witwatersrand Basin seem to be composed of clastic material. Pseudotachylites both from the Vredefort Dome and the surrounding Witwatersrand Basin are geochemically closely related to their host rocks. Although evidence for more than one generation of pseudotachylite has been presented, both in the Vredefort Dome and the surrounding Witwatersrand Basin, it is widely believed that most of them were formed as a result of the Vredefort impact event (ca. 2.0 Ga) Other fault rocks reported from the surrounding Witwatersrand Basin are older than the pseudotachylites and therefore not related to their formation.

Key words: Vredefort Dome, Witwatersrand Basin, pseudotachylite, fault rock

キーワード:フレデフォートドーム,ウィットウォーターズランド盆地,シュードタキライト,断層岩

1.はじめに

シュードタキライトはガラス質または極細粒のマトリックスと破砕した鉱物片から成る固結した

脆性断層岩で,一般に地震時の断層運動に伴う摩擦溶融によって形成されると考えられている。かつてシュードタキライトの成因に関して,摩擦発熱によって母岩が融解したメルトなのか(例えば,

^{*} 京都大学大学院理学研究科地球惑星科学専攻地質学鉱物学教室

^{*} Department of Geology and Mineralogy, Division of Earth and Planetary Sciences, Graduate School of Science, Kyoto University

Present Address: Department of Geology, Rand Afrikaans University. P.O. Box 524, Auckland Park 2006, South Africa

Sibson,1975),あるいは粉砕による超微粒岩片の集合体なのか(Wenk,1978)が論争になったが、Spray(1995)は実験により摩擦溶融にはあらかじめ粉砕過程が必要であることを示し、マトリックス中で粉砕物とメルトとの割合は摩擦面の歪速度によって連続的に変化する可能性を示唆した。また、Shimamoto and Nagahama(1992)と Ray(1999)は天然のシュードタキライトのクラストサイズ分析から、シュードタキライトの形成過程は粉砕だけでは説明がつかず、溶融の特徴も共存していることを示した。

シュードタキライトが溶融起源であれば,岩石 を溶かすために必要な摩擦熱から断層沿いの剪断 応力を推定できるので,地殻応力問題に関連して シュードタキライトは注目されてきた(McKenzie and Brune, 1972; Sibson, 1975, 1980b; Cardwell et al., 1978; Scholz, 1980)。また, シュードタキライ トとその母岩の変形様式を調べることで過去の地 震発生域の環境を推定できるので,シュードタキ ライトは世界各地の断層または剪断帯沿いで研究 されている(例えば, Clarke and Norman, 1993; Austrheim and Boundy, 1994; Obata and Karato, 1995; Karson et al., 1998; Curewitz and Karson, 1999)。これらを見ると,シュードタキライトの形 成条件範囲は非常に広く,地殻浅部での正断層 (Karson et al., 1998; Curewitz and Karson, 1999)か ら,地殻深部でのグラニュライト相(Clarke and Norman, 1993) やエクロジャイト相(Austrheim and Boundy, 1994) まで, 摩擦溶融を伴う地震時 の断層運動が示唆されている。また,溶融温度の 高い超苦鉄質岩のシュードタキライトも報告され ている (Obata and Karato, 1995)。比較的浅部の 断層沿いでは,シュードタキライトはカタクレー サイトに伴って産出するが(例えば, Sibson, 1975; Techmer et al., 1992), 深部の剪断帯沿いでマイロ ナイトに伴って産出するシュードタキライトも多 数報告されている(例えば, Sibson, 1980a; Passchier, 1982; White, 1996)。これらのシュード タキライトは形成後に塑性変形を受けているもの もあり, 普段は塑性変形をしている深部のマイロ ナイト帯で地震性のすべりが時々起こっているこ

とを示している。

ところで、シュードタキライトの形成は地震時の断層運動に限られない。大規模な地滑りのすべり面で摩擦溶融によって形成された岩石は"hyalomylonite"と呼ばれ、便宜的にシュードタキライトの一種とされた(Masch, 1979)。シュードタキライトと hyalomylonite が共に産するヒマラヤの Langtang で両者の相違点(気泡が有るか無いか、マトリックスが隠微晶質かガラス質かなど)も指摘されているが(Masch, 1979; Masch et al., 1985)、これらの相違点はシュードタキライトの多様性の範囲内であると考えられる。しかし、地滑りの摩擦溶融によって形成された岩石は例が少なく、詳細はまだ明らかではない。

さらに,シュードタキライトは隕石の衝突(イ ンパクト) によるクレーターにも報告されている (例えば, Masaytis, 1976; Lambert, 1981; Reimold et al., 1987; Dressler and Sharpton, 1997)。現在で は一般に巨大インパクト構造として知られている、 南アフリカ共和国 Witwatersrand 盆地の Vredefort ドーム (例えば , Shand, 1916; Bisschoff, 1962: 口絵21,2,3)とカナダのサドベリー構造(例えば, Thompson and Spray, 1994; Spray and Thompson, 1995)では,大量のシュードタキライトが産 出する。このうち Vredefort ドームはシュードタキ ライトの模式地である。Shand(1916)が Vredefort 北の Parys という街の周辺で, 花崗岩質岩石中に 見られるタキライト(玄武岩質ガラス)様の脈を 最初にシュードタキライトと命名して以来,特異 な構造を示す Vredefort ドームの成因に関連して, そのシュードタキライトは古くから多くの研究が おこなわれている(例えば, Bisschoff, 1962; Wilshire, 1971)。Vredefort ドームではシュードタ キライトは至る所で見られ, Shand (1916) 以降, より大規模なシュードタキライトの露頭も報告さ れているが,模式地としての特定の露頭はない。 したがって ,一口に Vredefort ドームのシュードタ キライトと言っても,多くの研究者により様々な 露頭から色々なタイプのシュードタキライトが報 告されている。

インパクト起源のシュードタキライトには,ま

さに隕石の衝突時 (cratering stage) に圧縮条件 で形成されるものと、その後のリバウンドや崩壊 による隕石孔の変形時 (modification stage) に形 成されるものが考えられている(Lambert, 1981; Thompson and Spray, 1994; Spray and Thompson, 1995)。後者はインパクトによって引き起こさ れた断層運動(または地滑り)によるもので,規 模は大きいが,基本的には断層起源のシュードタ キライトと同様のプロセスで形成されるのだろう (Thompson and Spray, 1994)。初期の研究では, Vredefort ドームのシュードタキライトは脈に 沿って小さな変位しか認められず,断層とは関係 ないとされていた (Shand, 1916; Bisschoff, 1962; Wilshire, 1971)。 しかし, 1980年代後半には Vredefort ドーム以外の Witwatersrand 盆地で断 層起源のシュードタキライトが報告され(Killick et al., 1986, 1988; Reimold et al., 1986), これらの シュードタキライトは Vredefort ドームのものと 起源的に関連している可能性があるので, Killick et al. (1988) は Vredefort ドームのものも断層運 動に関係しているか見直すべきであると指摘した。 これを受けて、最近では Vredefort ドームのシュー ドタキライトとそれ以外の Witwatersrand 盆地の シュードタキライトを比較する研究もおこなわれ ている(Fletcher and Reimold, 1989; Killick and Reimold, 1990; Reimold and Colliston, 1994),

インパクト起源のシュードタキライトと断層起源のシュードタキライトが多数報告されている Witwatersrand 盆地は、Vredefort ドームの構造や形成条件を考えるためだけでなくシュードタキライトの多様性を理解する上でも重要である。 小論では 模式地である Vredefort ドームのインパクト起源のシュードタキライト、その他の Witwatersrand 盆地の断層起源のシュードタキライトについて、これまでの研究をレビューしこれらの岩石を紹介する。

Ⅱ.地質概説

Vredefort ドームはヨハネスバーグの南西約 120 km に位置し, Witwatersrand 盆地のほぼ中心部に当たる(図1)。この Vredefort ドームは, 中央

部の始生代の花崗岩と片麻岩から成る 'core'(図1では Basement Granite と表記)と,その周囲の始生代と原生代の傾斜または逆転した一連の地層から成る'collar(図1では Witwatersrand Supergroup, Ventersdorp Supergroup, Trans-vaal Supergroup(の下部)と表記:口絵2-4)で構成され,南東部は顕生代の岩石(主にKaroo Supergroupの変堆積岩とドレライト: 図1ではYounger Coverと表記)で覆われている。

Vredefort ドームの core は変成相の変化と地球 化学的研究から,中心部に向かってしだいに地殻 の深部が露出していると考えられている (Slawson, 1976; Hart et al., 1981a)。core は内側の Inlandsee Leucogranofels (ILG) と外側の Outer Granite Gneiss (OGG) に大きく二分される(図 1)。前者は縞状構造が発達したグラニュライト相 の珪長質片麻岩から成り,後者は比較的均質で縞 状構造の発達は場所によって異なり, 主に角閃岩 相の花崗岩と花崗岩質片麻岩から成る (Hart et al., 1981b; Stepto, 1990)。なおインパクト当時, ブッシュフェルト火成活動 (2.05 2.06 Ga) による 熱が広域的に残っており,インパクトによる熱と 共にドーム中央部の高変成作用をもたらした可能 性が示唆されている (Gibson et al., 1998)。 ILG と OGG は幅約5km にわたり苦鉄質の多様な変成岩 から成る領域で漸移的に境界を定められ、この境 界 帯 は Steynskraal Metamorphic Zone (SMZ) (Hart et al., 1981a, b) または Steynskraal Formation (SF)(Stepto, 1990)と呼ばれていた。しか し, Hart et al. (1990) は地球化学的研究から OGG とILGの境界はシャープ(いわゆる Vredefort Discontinuity) であることを示し, これをテクト ニックな不連続と考えた。彼らによると,この境 界帯では ILG の岩石も OGG の岩石も著しく破砕 され,シュードタキライトが集中的に産出する。 彼らはVredefort Discontinuityのすぐ下の リューコグラノフェルスとチャーノッカイトがほ ぼ同量産する領域をチャーノッカイトゾーンと呼 び、JLGの最上部に位置付けている。Fletcher and Reimold (1989) も露頭観察と広域的な構造から, シュードタキライトが多産する Vredefort

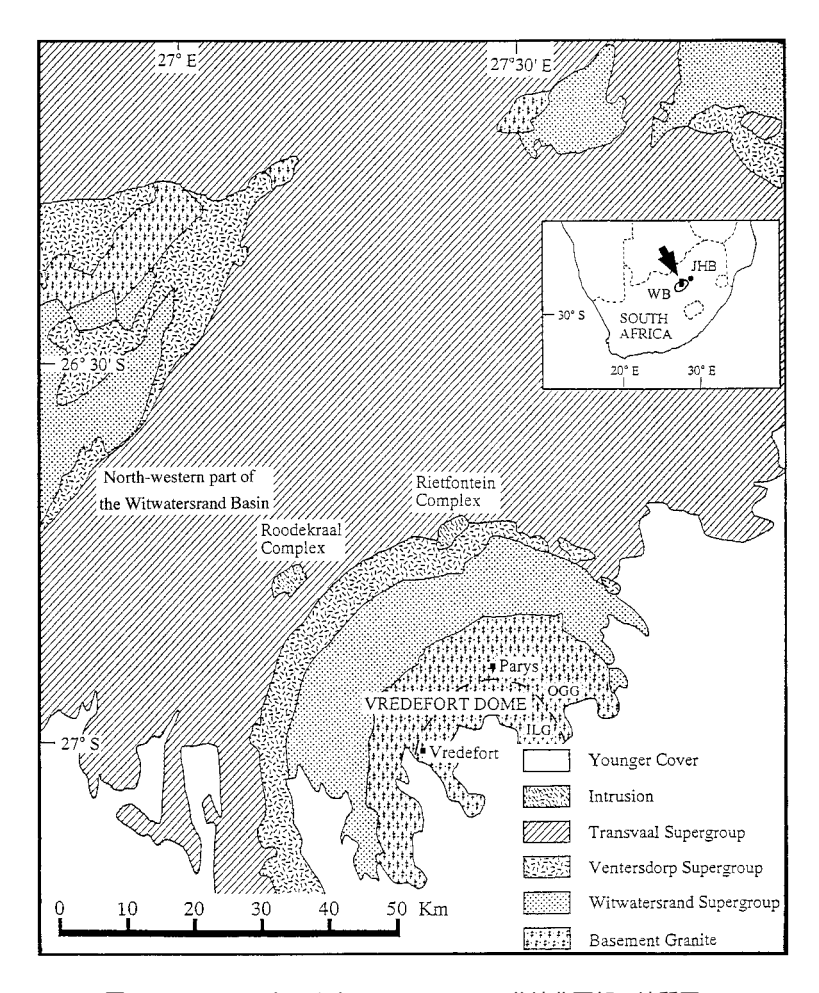


図 1 Vredefort ドームと Witwatersrand 盆地北西部の地質図.

Smit (1986)とKillick et al. (1988)を簡略化.

JHB: ヨハネスバーグ, WB: Witwatersrand 盆地, OGG: Outer Granite

Gneiss , ILG : Inlandsee Leucogranofels

Fig. 1 Regional setting of the Vredefort Dome in the Witwatersrand Basin.

Simplified after Smit (1986) and Killick et al. (1988).

JHB: Johannesburg, WB: Witwatersrand Basin, OGG: Outer Granite

Gneiss, ILG: Inlandsee Leucogranofels

Discontinuity がテクトニックな不連続(水平に近い断層)である可能性を示唆した。しかし、Reimold and Gibson(1996)は経験的にOGGとILGの境界は構造的不連続というより、漸移的な岩相の変化であるとしている。このようにOGG-ILG境界の構造については、まだ一致した見解がない。

Vredefort ドームの collar は core と不整合で接 する Dominion Group の一部から ,Witwatersrand Supergroup, Ventersdorp Supergroup, Transvaal Supergroup の下部へと,内側から外側に向かって順次若い層準が露出しており,collar の幅は15 20 kmに及ぶ(図1では Dominion Group は省略されている)。図1には示されていないが,幅数十メートルで連続性の良いグラノフィアーダイクが主に core と collar の境界沿いに分布し,より小規模のものは core の中(OGG, ILG 共)にも見られ

る (Willemse, 1937; Bisschoff, 1972; Therriault *et al.*, 1996)。特異な化学組成を示すこれらのグラノフィアーダイクは,マグマに既存の岩石(頁岩や珪岩など)が混ざり込んだ火成岩との考えもあったが(Willemse, 1937; Bisschoff, 1972),現在ではインパクトメルトと考えられている(French and Nielsen, 1990; Koeberl *et al.*, 1996; Therriault *et al.*, 1996)。

Vredefort ドームから離れた Witwatersrand 盆 地の北部と北西部は Transvaal Supergroup に覆 われているが,ボーリングコアや鉱山の地下の露 頭から、Witwatersrand Supergroup 内の多くの層 面断層, Witwatersrand Supergroup と Ventersdorp Supergroupの間の Ventersdorp Contact Reef (VCR)内の断層帯, Transvaal Supergroupの最 下部の Black Reef Decollement Zone (BRDZ) な どにシュードタキライトが報告されている (Reimold et al., 1986; Killick et al., 1988; Fletcher and Reimold, 1989; Killick and Reimold, 1990; Reimold and Colliston, 1994: 図2)。これらの層面断 層の他、ほぼ南北走行の正断層沿いにもシュード タキライトが報告されている (Reimold et al., 1986; Fletcher and Reimold, 1989; Killick and Roering, 1995),

III. Vredefort 論争

本題に入る前に本章ではVredefort 論争についてその概略を述べる。Vredefort ドームの成因が隕石の衝突によるもの(インパクト起源)か地球内部の力によるもの(ガス爆発またはテクトニック起源)かは長年にわたって議論され、Vredefort 論争と呼ばれている(Grieve, 1982; Bisschoff, 1988; Nicolaysen, 1990 など参照)。インパクト起源の支持者は、シュードタキライト、シャッターコーン、シリカ鉱物の高圧相、石英中の面状微細構造などの存在を挙げて、これらはインパクトによるショック波に関連した高圧・高歪速度によって形成されたと主張し、前述のように現在ではVredefort ドームは巨大インパクト構造として落ち着いたようである。しかしながら、まだいくつかの問題点も残っている。

シュードタキライトはインパクト構造で特徴的 に見られるわけではなく,シュードタキライトが 産出しないインパクト構造も多数あるが (Reimold, 1998), 一般に大規模なシュードタキラ イトの存在はインパクト起源の証拠の一つとされ ている。しかし 地質学者と隕石学者の間でシュー ドタキライトに関する統一的な見解がなく, 隕石 学者はインパクト構造で一見シュードタキライト に似た岩石をまとめてシュードタキライトと呼ん でいるようである (Reimold, 1995, 1998)。シュー ドタキライトという用語は成因の異なる岩石に使 用されているが, Reimold (1995, 1998)は(テク トニックなまたはインパクトによって引き起こさ れた)摩擦溶融によるものにのみシュードタキラ イトという用語を用い,インパクト溶融とは区別 するよう提案している。Vredefort ドームのシュー ドタキライトについては,次章で詳しく述べる。

シャッターコーンは,表面に条線がある円錐形 の特異な割れ目で,強いショック波によって形成 されると考えられ,一般にインパクト構造の特徴 とみなされている(Dietz, 1959, 1960)。 Vredefort 地域のシャッターコーンは長さ 10 cm 程度までの ものが多く、Witwatersrand Supergroup の珪岩を 主として collar を構成する多くの岩石の表面に見 られるが,シュードタキライトとグラノフィアー ダイクには見られない (Dietz, 1961; Hargraves, 1961; Manton, 1965)。core の岩石にもほとんど見 られないが,これはcoreの岩石が粗粒なため シャッターコーンが形成されにくく, 形成されて も後の風化や浸食によって消されてしまったと考 えられている(Hargraves, 1961)。 地層面の方向に 対するシャッターコーンの軸の方向が一定なので、 シャッターコーンは地層の逆転以前に形成されて いたと考えられていたが(Hargraves, 1961; Manton, 1965; Albat, 1988), 地層面の方向に依存 せず,逆転後に形成されたことを示すシャッター コーンも報告されている (Simpson, 1978, 1981)。 Nicolaysen and Reimold(1999)もシャッターコー ンとこれに直接関係する面状 曲面状の割れ目を 詳細に記載し、これらは Vredefort ドーム形成の比 較的後期にできたと結論している。

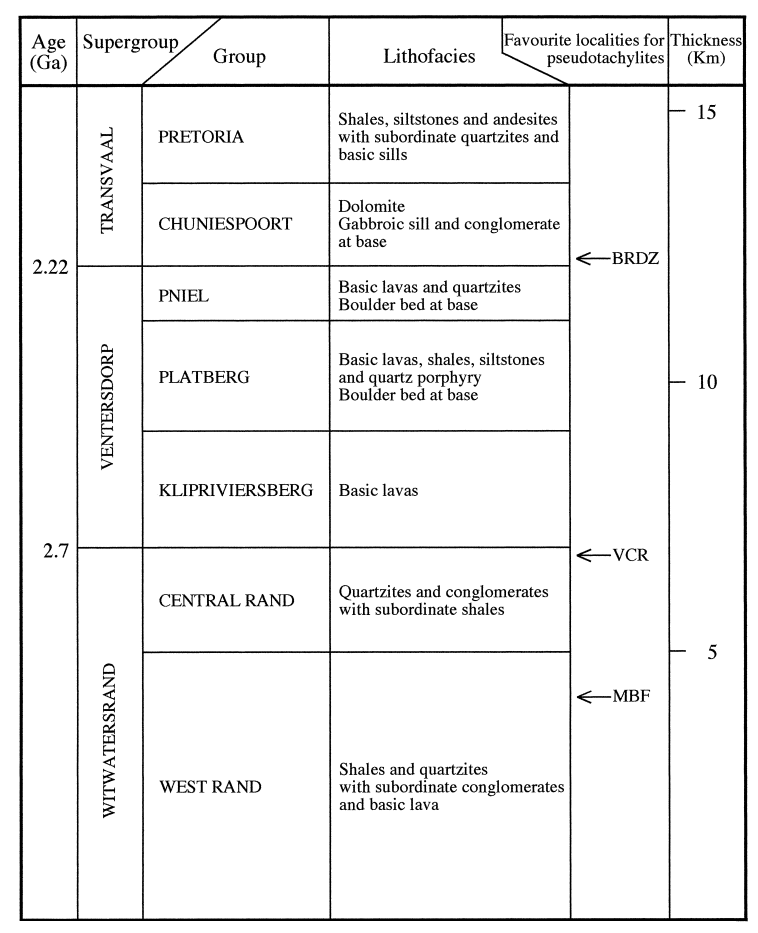


図 2 Witwatersrand 盆地北西部の層序. Fletcher and Reimold (1989)を簡略化.

Fig. 2 Lithostratigraphy for the northwestern part of the Witwatersrand Basin.

Simplified after Fletcher and Reimold (1989).

BRDZ: Black Reef Decollement Zone, VCR: Ventersdorp Contact Reef,

MBF: Master Bedding Fault

シリカ鉱物の高圧相(コーサイトとスティショバイト)が collar の Witwatersrand 珪岩中の細い(< 0.5 mm)シュードタキライト脈から発見され(Martini, 1978), TEM 観察によっても確認されている(White, 1993; Leroux *et al.*, 1994 ではコーサイトのみ確認)。これらの高圧相はシュードタキライト中だけでなく,シュードタキライトに接する母岩(境界から1 2 mm 以内)の珪岩中からも報告されているが(Martini, 1991, 1992), その分布はWitwatersrand Supergroup の上部に限られてお

り、より下部(Vredefort ドームの中心部)では後の変成作用によって繊維状の細粒石英や再結晶粒に変わったと考えられている(Lilly, 1979; Martini, 1991)。シリカ鉱物の高圧相(特にスティショバイト)の存在は一般にインパクト起源を強く支持すると考えられるが、これらの高圧相がショック変成作用でのみ形成されることをはっきりと証明した実験はなく、Reimold *et al.* (1992a)は相転移の体積変化を考慮した実験の必要性を指摘している。

Carter (1965) は Vredefort ドームのcollar (Witwatersrand Supergroup 下部) のシャッター コーンで石英粒の多くに basal plane に平行な変形 ラメラがあることを示し,これらがインパクトの ショックによってできたと結論した。以来,石英 中の面状微細構造は, planar deformation features, planar elements, planar fractures などと 呼ばれ、それらの結晶学的方位からショック圧力 を推定する研究(Lilly, 1981; Fricke et al., 1990; Grieve et al., 1990), それらに沿って存在する流体 包有物の研究(Schreyer and Medenbach, 1981; Schreyer, 1983; Fricke et al., 1990), 詳細な TEM 観察 (Goltrant et al., 1991) などがおこなわれてい る。しかしながら,このような石英中の面状微細 構造はインパクトに特有のものではなく,他の動 的プロセスによっても形成され得る(Alexopoulos et al., 1988; Brandl and Reimold, 1990)。 実際, Reimold (1990) は Vredefort ドーム内の多くの石 英の微細変形構造が, Alexo-poulos et al. (1988) のショック (インパクト) 起源による面状微細構 造の定義に当てはまらないことを指摘している。 さらに, Hart et al. (1991) もこれらの石英の面状 微細構造が Vredefort ドームの中心に向かって多 くなっているわけではないことを示している。

IV. Vredefort ドームのシュードタキライト

Vredefort ドームのシュードタキライトは collar にも core にも産するが ,core の中心部には比較的 少 な い (Reimold *et al.*, 1985; Killick and Reimold, 1990)。Fletcher and Reimold (1989) はシュードタキライトが OGG-ILG 境界付近に集中的に産出し ,より外側の OGG 内と collar の内側の層面断層沿いにも小規模な集中があると述べている。

1) 産状

Vredefort ドームのシュードタキライトの産状は古くから多くの研究者によって詳しく述べられている(例えば, Shand, 1916; Bisschoff, 1962; Wilshire, 1971)。これら初期の研究では,シュードタキライトは大変位の証拠が見られないので断層とは関係なく,花崗岩中の縞状構造や堆積岩中の層理面にも依存しないとされていた。Poldervaart

(1962) も core の花崗岩中のシュードタキライト脈 がマイロナイトの変形集中域にできているのでは なく, 周りの岩石が急速に粉砕されて細粒のタ フィサイトになっているようであると述べている。 しかし、より最近の研究によると, core の花崗岩 中の直線的なシュードタキライト脈は片麻状の縞 に沿うものが多く collar の岩石中のものは層理面 や 層 面 断 層 に 沿 う も の が 多 い (Killick and Reimold, 1990; Reimold and Colliston, 1994), collar (Witwatersrand Supergroup 下部)の泥質変成岩 中では,破断劈開沿いに不規則で不連続なさや状 や細脈状のシュードタキライトが報告されている (Gibson et al., 1997b)。これらの多くは幅 5 mm 以 下で長さ数 cm であるが 破断面が交わる所では幅 10 cm, 長さ数十 cm に達することもある。但し, これらの破断面は複雑なネットワーク状で層理面 との関係は一定ではない。Bisschoff (1962) は Parys の 東 北 東 に 位 置 す る Otavi quarry で , シュードタキライトを傾斜の大きい脈とほぼ水平 で多くの岩片を含むシートに区別し(口絵 2-1), シートはシュードタキライトが良く発達している 所にのみ見られるとした。Fletcher and Reimold (1989)とKillick and Reimold (1990)は,これら のシートが低角断層である可能性を指摘している。

Martini (1991) は Vredefort ドームのシュード タキライトを A タイプと B タイプに分類した。A タイプは非顕晶質物質から成る厚さ 1 mm 以下の 暗灰色の脈である。B タイプも暗色の非顕晶質物 質から成るが,岩片や鉱物を含み数メートルまで の厚さを持つ不規則な脈で、Vredefort ドームで一 般によく見られるものである。彼はコーサイトや スティショバイトは A タイプのシュードタキライ ト中に限られ, Bタイプ中には見られないことを 指摘し,A タイプはショック波の通過時により高 圧条件で形成され, その直後 B タイプがより低圧 または伸張場で形成されたと考えた。しかし, Reimold et al. (1992a) は Martini のサンプリング 地点を観察し, A タイプから突然 B タイプに移行 している個所もあることを指摘して, A タイプ・ B タイプという単純な分類を支持していない。

シュードタキライトは Vredefort ドーム内の多

くの岩石中に見られるが、グラノフィアーダイク中には見られないので、グラノフィアーダイクよりも古いか同時期に形成されたと考えられる(Dietz, 1961)。また、グラノフィアーダイクに切られ、より古いことを示すシュードタキライトもある(Bisschoff, 1962, 1972, 1982)。Vredefortの南西とVredefortドーム南東部では、古いシュードタキライトが新しいシュードタキライトに切られたり取り込まれたりしており、シュードタキライトの形成時期が複数回あったことが示されている(Killick and Reimold, 1990)。

2)組織

Vredefort ドームのシュードタキライトは様々な組織を示し、研究者によって異なるタイプ分けがされている。

Shand(1916)は Parys で OGG 中に産するシュー ドタキライトのマトリックスを3タイプに分けた。 細い脈中に見られ細粒な磁鉄鉱の集合体を含む最 も不透明なもの,ある程度の結晶化が起きており 部分的に小さな磁鉄鉱の八面体が識別できるもの, 黒色だが不透明鉱物が少なく蜂の巣状の多角形の スフェルライトまたは長石のマイクロライトを多 く含むものの 3 タイプである。Willemse (1937) はシュードタキライトに再結晶タイプと極微細タ イプが認められるとし、どちらもメルトからの固 化ではなく,前者は固相状態で再結晶したもので, 後者は岩石が細かく破砕されたものであると結論 した。彼はシュードタキライトの周縁相を,細粒 またはガラス質のためではなく,磁鉄鉱などの不 透明鉱物が多いためであるとしているが, Bisschoff (1962) も指摘しているように周縁相は 不透明鉱物も多いが内側よりも細粒である(口絵 2 5, 6, 7, 8)。Bisschoff (1962)は ,再結晶したシュー ドタキライトの組織を, 微晶質で支配的な構造を 持たない非貫入性タイプと, 周縁部に対して急冷 相を持ち流動構造で特徴付けられる貫入性タイプ に区別できるとし,前者が多数を占めるとした。 Reimold and Colliston (1994) はシュードタキラ イトのマトリックスを,非顕晶質で小さな磁鉄鉱 のクリスタライトを多く含み局所的に長石・輝石・ ホルンブレンドの結晶化などの脱ガラス化組織を

示すものと,微晶質で主に細粒のサブオフィチック,填間状,球顆状組織を示すものに二分できるとした。彼らによると,主なマイクロライトは斜長石・輝石・角閃石・黒雲母・磁鉄鉱で,最も主要な変質鉱物は緑泥石・セリサイト・緑簾石である。

Leroux et al. (1994)はcoreのOGG-ILG境界帯のシュードタキライトをTEM観察し脈を構成しているのは非常に細粒の物質(ほとんどは粒径約0.2 μmの石英)でガラスは無く,小さなクリスタライトは皆同じ大きさで平衡な組織に見えるので,これらの微晶質の脈はおそらくもとのメルト(ガラス)相の再結晶によってできたのだろうと結論した。彼らはまた,北東部のcollarの珪岩中のシュードタキライトもTEM観察し,それらが細粒の再結晶したシリカ(平均粒径約0.1 μm)と少量の鉄の酸化物から成り,非晶質物質は見られないとした。

3) 化学分析

シュードタキライトの化学分析も古くからおこなわれている(例えば、Shand、1916; Willemse、1937; Wilshire、1971)。シュードタキライトのマトリックスからクラストを分離することが難しいため、これら初期の結果の多くは、シュードタキライトの組成が母岩の全岩組成に近いことを示していた。微量元素について、Wilshire(1971)は母岩よりもシュードタキライト中でPbが多いことを最初に述べた。Killick and Reimold(1990)は微量元素の濃集についてそれまでのデータをコンパイルし、Pb だけでなくSn、Cu、U、Zr、Sbがシュードタキライト中で多く、As が少ないことを示した。

Schwarzman et al. (1983)はマイクロプローブを用いて精度良くシュードタキライトのマトリックスの分析をおこない,OGG中のシュードタキライトは平均して母岩よりもSiO2に乏しく,Al2O3,Na2O,CaO,K2Oに富むことを示した。また,平均値では明らかな違いは見られないが,個々のシュードタキライトとその母岩を比べると,シュードタキライト中にFeとMgが多いことを示した。シュードタキライトの形成に対する母岩の鉱物組成の影響は詳しく調べられていなかったが,

Reimold et al. (1985) も珪長質片麻岩のゾーンよ りも黒雲母や角閃石に富む苦鉄質ゾーンの方が シュードタキライトが形成されやすいと述べた。 その後, Reimold (1991) は Vredefort ドームの シュードタキライトが化学的にその母岩と密接に 関係していることを示した。 つまり, 花崗岩中の シュードタキライトは SiO₂ に乏しく TiO₂, Fe₂O₃, CaO, MgO に富み, 苦鉄質岩中のシュードタキラ イトは CaO に乏しく K2O に富むことが見られた が,母岩の組成からの系統的な逸脱は見られない。 また,微量元素については,Scと長石に関係する 元素 (Ba, Rb など) がシュードタキライト中でし ばしば富むが,一般的な傾向は見られないとした。 彼はシュードタキライトは苦鉄質鉱物 (特に含水 の苦鉄質鉱物)の選択的な溶融と少量の長石類の 溶融によって形成されたと結論した。

4)年代測定

Vredefort ドームのシュードタキライトに関する年代測定の研究を表 1 にまとめた。

Reimold et al.(1990)は Vredefort ドームの core と collar の 6 地点から,シュードタキライトの全 岩サンプルを 40 A r-39 A r 段階加熱法と K-A r 法を用 いて年代測定し 2.25 ± 0.04 ~ 1.09 ± 0.10 Ga とい う結果を得た。彼らはこれを Vredefort でシュード タキライトの形成時期が複数回あったことを示し ていると考えた。Reimold et al. (1992b) はこれら のサンプルのうち二つのシュードタキライトの母 岩から鉱物分離したサンプルを,同様に40Ar-39Ar 段階加熱法を用いて年代測定し,2Gaより若い シュードタキライトの存在を確かめた。つまり, 母岩の鉱物はブッシュフェルト火成岩体の貫入や OGG の広域的な火成活動に関連した古い年代 (2.07 ± 0.01 Ga, 3.03 ± 0.03 Ga)を示しその後の Ar の喪失がないので,シュードタキライトから得ら れた年代 (1.44 ± 0.08 Ga) は後のイベントで改変 されたものではなくその形成年代を示す。また、 もう一つのシュードタキライト $(1.39 \pm 0.08 \, \text{Ga})$ 自身は熱水変質作用を受けていないが,これに接 する母岩は変質作用を受けており,これはシュー ドタキライトの形成時の変質と考えられるので、 変質を受けた母岩の鉱物の年代(1.76 ± 0.04~1.39 ± 0.01 Ga) はシュードタキライトの形成年代を示す。

Spray et al. (1995) はレーザーマイクロプロープ⁴⁰Ar-³⁹Ar 法を用いて,シリカ鉱物の高圧相を含む collar のシュードタキライトと OGG 内のシュードタキライトの年代測定をし,Vredefort の超高圧 イベントは 2018 ± 14 Ma に起こったと結論した。彼らはほとんどのシュードタキライト(特にシリカ鉱物の高圧相を含む脈と大きな岩脈状のもの)はこの時に形成されたとしている。 Kamo et al. (1996) は Vredefort ドームの中心部の再結晶したシュードタキライト中から,ショック変形を受けていないジルコンの結晶を U-Pb 法を用いて年代測定し,シュードタキライトの形成は 2023 ± 4 Maという ²⁰⁷Pb / ²⁰⁶Pb 年代を得た。

シュードタキライトそのものではないが, Moser (1997) は core の中心部の岩石 (ILG と再 結晶したノーライト)からジルコンとモナズ石の 単結晶を U-Pb 法を用いて年代測定し インパクト と変成作用の年代として 2020 ± 3 Ma という 207Pb / ²⁰⁶Pb 年代を得た。Gibson et al. (1997a) も core の中心部の花崗岩からジルコンの単結晶を U-Pb SHRIMP 分析し、ショック後の花崗岩の結晶化の 年代として 2017 ± 5 Ma という 207Pb / 206Pb 年代を 得た。また、Vredefort ドーム形成時のインパクト メルトと考えられているグラノフィアーダイクに 関して Walraven et al. (1990) はそれまでの年代 測定の研究結果をまとめ、グラノフィアーダイク の年代を 2002 ± 52 Ma と推測した。Allsopp et al. (1991)はグラノフィアーダイク中の黒雲母集合体 を ⁴⁰Ar-³⁹Ar 段階加熱法を用いて年代測定し,2006 ± 9 Ma という年代を得た。(Kamo et al. (1996) はグラノフィアーダイク中のジルコンを U-Pb 法 を用いて年代測定し,形成年代は約3.1 Gaで,約 2.0 GaにPbの喪失があったと結論している。)これ らは,多くのシュードタキライトを形成した ショックイベントの年代と考えられる。

V. Vredefort ドーム以外のシュードタキライト

Vredefort ドーム北部の Rietfontein 複合岩体と Vredefort ドーム北西部の Roodekraal 複合岩体中,

表 1 Vredefort ドームのシュードタキライトに関係する年代測定値.

Table 1 Summary of the reported age dating studies concerned with Vredefort pseudotachylites.

Sample	Method	Age	Reference
Matrix of pseudotacylites in collar and core (both OGG and ILG)	K-Ar ⁴⁰ Ar- ³⁹ Ar stepheating	2.25 ± 0.04 ~ 1.09 ± 0.10 Ga	Remold <i>et al.</i> (1990)
Biotite and hornblende from charnockitic gneiss	⁴⁰ Ar- ³⁹ Ar stepheating	2.07 ± 0.01 Ga 3.03 ± 0.03 Ga 1.76 ± 0.04 ~ 1.39 ± 0.01 Ga	Reimold <i>et al.</i> (1992b)
Matrix of coesite-and stishovite-bearing pseudotachylites in collar Matrix of pseudotacylites in OGG	Laser microprobe ⁴⁰ Ar- ³⁹ Ar	2018 ± 14 Ma	Spray <i>et al.</i> (1995)
Zircons from recrystallized pseudotacylite in ILG	U-Pb	2023 ± 4 Ma	Kamo <i>et al.</i> (1996)
Zircons and monazites from gneiss in ILG Zicons from recrystallized norrite in ILG	U-Pb	2020 ± 3 Ma	Moser(1997)
Zicons from granite in ILG	U-Pb SHRIMP	2017 ± 5 Ma	Gibson et al. (1997)
Zicons from granophyre	U-Pb	2002 ± 52 Ma	Walraven <i>et al.</i> (1990)
Biotite concentrates from granophyre	⁴⁰ Ar- ³⁹ Ar stepheating	2006 ± 9 Ma	Allsopp et al. (1991)

また Roodekraal 複合岩体の北の珪岩中にもシュードタキライトが報告されている (Bisschoff, 1962)。最近では、シュードタキライトは Vredefort ドーム地域に限られるのではなく、Witwatersrand 盆地に広く産出することが知られている (Killick *et al.*, 1986, 1988; Reimold *et al.*, 1986)。しかし、これらのほとんどはボーリングコアや鉱山の地下の露頭からの報告であり、地表での露頭はまれである。

1) 産状

Witwatersrand 盆地北西部では多くのシュードタキライトが Master Bedding Fault (MBF)と Black Reef Decollement Zone (BRDZ)沿いに報告されている(Fletcher and Reimold , 1989), MBFは West Rand Group 上部の層面断層で,幅 15 mのカタクラスティックゾーンであり,BRDZ は Transvaal Supergroupの最下部の厚さ 130 mに及

ぶ断層帯で、どちらも南東へ緩く傾斜している。 Fletcher and Reimold (1989)によると BRDZ のうちの30%までをシュードタキライトが占め、新旧2種類のシュードタキライトが認められている。 古いシュードタキライトは褶曲した地層に沿っており、新しいシュードタキライトは主に BRDZ の上部と下部の境界に見られる。

Witwatersrand 盆地北部では, Witwatersrand Supergroup と Ventersdorp Supergroup の 間 の Ventersdorp Contact Reef (VCR) 内の断層帯からシュードタキライトが報告されている(Killick et al., 1988)。彼らによると,シュードタキライトに関連した変形は非常に脆性的で,隣接する岩石との境界はシャープである。また, fault veins も injection veins も観察され(Sibson, 1975参照), fault veins 沿いにはかなりの変位があるかもしれないと述べている。VCRで古いシュードタキライ

トをクラストとして含むカタクレーサイトが,新しいシュードタキライトに切られている様子も記載されている(Killick and Reimold, 1990 の Fig. 6d.)。この他,ほぼ南北走向の Bank Fault 沿いにもかなりのシュードタキライトが産出し,少なくとも 2 回のシュードタキライトの形成が認められている(Reimold $et\ al.$, 1986; Fletcher and Reimold, 1989)。

Killick and Roering (1995) は Witwatersrand 盆地北部の West Rand Goldfield を含むより広い 範囲で,地下の露頭とボーリングコアからシュー ドタキライトを産する多くの断層を調査し, シュードタキライトは West Rand Group 上部から Pretoria Group までの母岩中に見られると述べた。 これらの断層には,層面断層だけでなくほぼ南北 走向のもの(West Rand Fault や Panvlakte Fault) も含まれている。彼らはシュードタキライトの fault veinsの極をステレオ投影し、それらが一つ の大円上にのるので同時に形成されたと考えた。 また, Killick and Roering (1998) は同じ調査地域 で層序と浸食された岩石の厚さを考慮し,シュー ドタキライトは深さ 1.9 6.6 km で形成されたと推 定した。彼らはさらにこの深さに基づいてシュー ドタキライトの形成条件を計算し,間隙流体圧は 静水圧に近く 剪断応力は約75 MPa と推定してい る。

2)組織

MBFとBRDZ沿いのシュードタキライトの組織は記載されていないが、Witwatersrand盆地北部のVCRのシュードタキライトはKillick et al. (1988)によって詳細に記載されている。彼らによると、最も多いシュードタキライトは塊状の淡青灰色から茶褐緑色で、マトリックス中に珪質のクラストを多く含み、火成岩の流動縞状構造に似た構造を示す所がある。シュードタキライトのマトリックスは非常に細粒で、鉄の酸化物のために汚れたように見えるので鉱物組成の同定は難しいが、彼らはX線回折により、この岩石の結晶度が高く、多い順に石英・緑泥石・セリサイト・硫化物鉱物から成ることを記している。また、最も多いポーフィロクラストは強い歪を受けた石英で、

コロナで取り囲まれている(細粒の石英に富む縁が不透明鉱物に囲まれている)ものもある。これらの灰色から緑色のシュードタキライトに対して、Ventersdorp 溶岩中にはえび茶色のものがよく見られ、この色の違いはシュードタキライト中の化学組成の違いを反映していると考えられている(Killick *et al.*, 1988)。

Reimold *et al.* (1999) は Witwatersrand 盆地北部と北西部の MBF ,BRDZ ,VCR 沿いのシュードタキライトを研究し ,シュードタキライト形成時の強い熱水作用と形成後の変質の証拠を示した。彼らはこれらのほとんどのサンプルでマトリックスの 98%以上が砕屑物質から成っているようであり , 普通マトリックスの 70%以上がメルト相である Vredefort ドームの core のシュードタキライトとはこの点で著しく異なっていると指摘している。

3) 化学分析

Killick et al. (1986, 1988) は, Witwatersrand 盆地北部の VCR のシュードタキライトとその母 岩の全岩分析をおこなった。その結果、緑灰色の シュードタキライトは母岩の堆積岩(主に珪岩) に,えび茶色のシュードタキライトは母岩の塩基 性溶岩に類似した組成を示し, どちらのシュード タキライトもこれら二つの母岩の中間的な組成に なる。また 緑灰色のシュードタキライト中の SiO2 含有量は母岩の堆積岩に比べて少ないが,えび茶 色のシュードタキライト中の SiO₂ 含有量は母岩の 溶岩に比べて多く, どちらのシュードタキライト でも Pb 含有量は母岩よりも多い。Killick (1994) も, Witwatersrand 盆地北部のより広い範囲で同 様の研究をおこない,シュードタキライトの主成 分元素は二つの異なる母岩の混合となることと, 母岩中よりシュードタキライト中にいつも多い元 素はS, Pb, Auで,シュードタキライト形成前ま たは形成時に断層沿いに硫化物を含む流体相が存 在した可能性を示した。Reimold and Koeberl (1991)とReimold (1994)も,シュードタキライ トを産する断層沿いに,Auやその他の金属元素が 局所的に濃集している可能性を指摘している。

近年では、Witwatersrand 盆地北部と北西部で も断層帯の化学分析がおこなわれている (Reimold *et al.*, 1999)。彼らによると,珪岩中のシュードタキライトは母岩に比べてSiO₂に乏しくTiO₂とAl₂O₃に富み,溶岩中のシュードタキライトは母岩に比べてSiO₂に富みTiO₂,Fe₂O₃,MgO,Al₂O₃にもやや富む。また,熱水変質作用は主に断層帯内に限られているが,部分的に上盤と下盤にも影響を与えており,U,Th,Au,Sc,Gaなどの微量元素は断層帯近傍で局所的に移動・再沈殿している。

4)年代測定

Vredefort ドーム以外の Witwatersrand 盆地の シュードタキライトを年代測定した研究は少ない。

Trieloff *et al.* (1994) は Witwatersrand 盆地北部の Elandsrand Gold Mine と西部の Vaal Reef Gold Mineの VCR に産出するシュードタキライトを ⁴⁰Ar-³⁹Ar 段階加熱法を用いて年代測定し,2006±17 Ma という結果を得た。彼らは,この年代は Vredefort ドームの形成時期とほぼ等しいので,同時に形成されたのだろうと考えた。

Killick and Roering (1995) は年代測定はおこなっていないが, Witwatersrand 盆地北部で構造の観察から,ほとんどのシュードタキライトは Hekpoort (Pretoria Group 内)後に形成されたことを示し,相対的な年代からこのシュードタキライトが Vredefort ドームのシュードタキライトと 関連している可能性を示唆している。

∨Ⅰ. その他の断層岩類

Vredefort ドームでマイロナイトやカタクレーサイトなどの断層岩はほとんど報告がない。Schwarzman et al. (1983)はマイロナイトについては述べていないが,彼らの図の中に Vredefort ドームの core で幅1 mm 程度のマイロナイト化したシュードタキライトの母岩(OGG)が見られる(Schwarzman et al., 1983 の Fig. 6)。これはシュードタキライトに漸移しており,シュードタキライトの形成時にマイロナイト化したようにも見える。Vredefort ドームの collar (Witwatersrand Supergroup の下部)で破断劈開沿いに産するシュードタキライトの母岩(泥質変成岩)は,幅1 mm 以下の狭い範囲でプロトマイロナイト化している部

分がある (Gibson et al., 1997b)。

Vredefort ドーム以外の Witwatersrand 盆地で は,シュードタキライトの他にも断層岩が報告さ れている。Truter (1936) は Witwatersrand 盆地 北西部の Potchefstroom 地域を研究し, 衝上断層 に切られる Hospital Hill 珪岩(Witwatersrand Supergroup の上部) から Daspoort 珪岩 (Transvaal Supergroup の Pretoria Group)の岩石が,衝 上断層から約800 m にわたってマイロナイト化し ている所があると述べている。しかし,これらの マイロナイト化した岩石とシュードタキライトと の関係については触れられていない。McCarthy et al. (1986) も, Witwatersrand 盆地北部で MBF 沿いに厚いマイロナイトと角礫岩が発達している ことを述べているが,これらの詳しい記載や シュードタキライトとの関係には触れていない。 Witwatersrand 盆地北部でほぼ南北走向の Bank Fault 沿いに、シュードタキライトとマイロナイト が産することが報告されているが、これも詳しい 記載はない (Fletcher and Reimold, 1989)。

Killick et al. (1986, 1988)は, Witwatersrand 盆 地北部の VCR から,シュードタキライトの他カタ クレーサイトやマイロナイトも報告している。彼 らによると,カタクレーサイトとアルトラカタク レーサイトは比較的少なく,幅は20cmまでで一 般に無構造である。カタクレーサイト中のシュー ドタキライトは、シャープな境界とマトリックス の様子の違いから,既存のカタクレーサイトゾー ンを利用して形成されたと解釈されている。粉砕 が進んだアルトラカタクレーサイトはシュードタ キライトと似ているが,アルトラカタクレーサイ トは比較的きれいなマトリックス(鉄の酸化物が ない)と緑泥石化したクラストがより多いことで シュードタキライトと区別できる(Killick et al., 1988)。マイロナイトについては,多くの場合マイ ロナイト帯は幅数センチのプロトマイロナイトで あるが,幅20cmのものもある。彼らはシュード タキライトと隣接する岩石との境界はシャープで あると述べているが、シュードタキライトに切ら れている溶岩はマイロナイト化している部分があ る(Killick et al., 1988の Fig. 2d)。これはシュード タキライトの形成時にできたようにも見えるが,彼らはこの断層帯は長期間にわたり断続的な活動を繰り返し,マイロナイトやカタクレーサイトはシュードタキライト形成以前に形成されていたと結論している。

Witwatersrand 盆地の南部ではボーリングコアからかなりの量のマイロナイトが見られるが,これらのマイロナイト中の石英のクラストには, Vredefort ドームの石英に見られる面状微変形構造はない(Fletcher and Reimold, 1989)。

VII.まとめ

Vredefort ドームのインパクト起源のシュードタキライトとその他の Witwatersrand 盆地の断層起源のシュードタキライトについて,これまでにおこなわれてきた研究をみてきた。小論で述べた内容をまとめると以下のようになる。

- 1) Vredefort ドームでは中心部以外で至る所にシュードタキライトが産出し、その産状や組織は場所によって様々である。これらの多くのシュードタキライトのマトリックスは再結晶しているが、詳細な観察からもとはメルト相であったと考えられている。
- 2) Vredefort ドーム以外の Witwatersrand 盆地では,シュードタキライトの産出地点はボーリングコアや鉱山の地下の露頭に限られており,これらのシュードタキライトは断層帯に沿っている。まだ多くの報告はないが,これらのシュードタキライトのマトリックスのほとんどは砕屑物質から成っているようである。
- 3) Vredefort ドームでもそれ以外の Witwatersrand 盆地でも,シュードタキライトの化学組成は各々の母岩に密接に関係しており,複数回のシュードタキライトの形成が報告されている。それらのうちのほとんどは地球化学的および構造的に同時期(約2.0 Ga)に形成されたと考えられている。
- 4)Vredefort ドームの core ではシュードタキライトと母岩との境界はシャープであり,マイロナイトやカタクレーサイトなどの断層岩はほとんど報告がない。collar のシュードタキライトは層面

断層に関係している所もあるので,今後これらの 断層岩が報告される可能性がある。Vredefort ドーム以外の Witwatersrand 盆地ではシュードタキライト以外の断層岩も報告されているが,これらの 断層岩はシュードタキライトの形成以前にすでに 形成されていたと考えられている。

謝辞

本論文をまとめるにあたり、University of the Witwatersrand の W.U. Reimold 教授には多くの文献をいただき、フィールドのロカリティーも教えていただいた。Rand Afrikaans University の K. Hisada 博士と C.A. Smit 博士にはフィールドへ連れて行っていただいた。C.A. Smit 博士には West Rand Goldfield のシュードタキライトのサンプルも提供していただいた。以上の方々に厚くお礼申し上げる。また、しばらくの間 Rand Afrikaans University に滞在させていただき、多くの方々にお世話になった。 査読者からは有益なご指摘をいただき本稿の改善に役立った。記してお礼申し上げる。なお、本研究には日本学術振興会特別研究員の研究奨励金を使用した。

文 献

- Albat, H.M. (1988) Shatter cone/bedding interrelationship in the Vredefort Structure: Evidence for meteorite impact? S. Afr. J. Geol., 91, 106 113.
- Alexopoulos, J.S., Grieve, R.A.F. and Robertson, P.B. (1988) Microscopic lamellar deformation features in quartz: Discriminative characteristics of shockgenerated varieties. *Geology*, 16, 796-799.
- Allsopp, H.L., Fitch, F.J., Miller, J.A. and Reimold, W.U. (1991) ⁴⁰Ar/³⁹Ar stepheating age determinations relevant to formation of the Vredefort Dome, South Africa. *S. Afr. J. Sci.*, 87, 431–442.
- Austrheim, H. and Boundy, T.M. (1994) Pseudotachylytes generated during seismic faulting and eclogitization of the deep crust. *Science*, 265, 82 83.
- Bisschoff, A.A. (1962) The pseudotachylite of the Vredefort dome. *Trans. Geol. Soc. S. Afr.*, 65, 207–226.
- Bisschoff, A.A. (1972) The dioritic rocks of the Vredefort Dome. *Trans. Geol. Soc. S. Afr.*, 75, 31 45.
- Bisschoff, A.A. (1982) Thermal metamorphism in the Vredefort Dome. *Trans. Geol. Soc. S. Afr.*, 85, 43 57.
- Bisschoff, A.A. (1988) The history and origin of the Vredefort Dome. S. Afr. J. Sci., 84, 413–417.
- Brandl, G. and Reimold, W.U. (1990) The structural setting and deformation associated with pseudotachylite occurrences in the Palala Shear Belt and Sand River Gneiss, Northern Transvaal. *Tectonophysics*, 171, 201 220.
- Cardwell, R.K., Chinn, D.S., Moore, G.F. and Turcotte,

- D.L. (1978) Frictional heating on a fault zone with finite thickness. *Geophys. J. R. Astr. Soc.*, 52, 525 530.
- Carter, N.L. (1965) Basal quartz deformation lamellae A criterion for recognition of impactites. Am. J. Sci., 263, 786-806.
- Clarke, G.L. and Norman, A.R. (1993) Generation of pseudotachylite under granulite facies conditions, and its preservation during cooling. *J. Metamorphic Geol.*, 11, 319–335.
- Curewitz, D. and Karson, J.A. (1999) Ultracataclasis, sintering, and frictional melting in pseudotachylytes from East Greenland. J. Struct. Geol., 21, 1693 1713.
- Dietz, R.S. (1959) Shatter cones in cryptoexplosion structures (meteorite impact?). *J. Geol.*, 67, 496 505.
- Dietz, R.S. (1960) Meteorite impact suggested by shatter cones in rock. *Science*, 131, 1781–1784.
- Dietz, R.S. (1961) Vredefort Ring structure: meteorite impact scar? *J. Geol.*, 69, 499 516.
- Dressler, B.O. and Sharpton, V.L. (1997) Breccia formation at a complex impact crater: Slate Islands, Lake Superior, Ontario, Canada. *Tectonophysics*, 275, 285 311.
- Fletcher, P. and Reimold, W.U. (1989) Some notes and speculations on the pseudotachylites in the Witwatersrand Basin and Vredefort Dome, South Africa. S. Afr. J. Geol., 92, 223 234.
- French, B.M. and Nielsen, R.L. (1990) Vredefort Bronzite Granophyre: chemical evidence for origin as a meteorite impact melt. *Tectonophysics*, 171, 119 138.
- Fricke, A., Medenbach, O. and Schreyer, W. (1990) Fluid inclusions, planar elements and pseudotachylites in the basement rocks of the Vredefort structure, South Africa. *Tectonophysics*, 171, 169 183.
- Gibson, R.L., Armstrong, R.A. and Reimold, W.U. (1997a) The age and thermal evolution of the Vredefort impact structure: A single-grain U-Pb zircon study. *Geochim. Cosmochim. Acta*, 61, 1531–1540.
- Gibson, R.L., Reimold, W.U. and Wallmach, T. (1997b) Origin of pseudotachylite in the lower Witwatersrand Supergroup, Vredefort Dome (South Africa) Constraints from metamorphic studies. *Tectonophys*ics, 283, 241 262.
- Gibson, R.L., Reimold, W.U. and Stevens, G. (1998). Thermal-metamorphic signature of an impact event in the Vredefort dome, South Africa. *Geology*, 26, 787 700.
- Goltrant, O., Cordier, P. and Doukhan, J.-C. (1991) Planar deformation features in shocked quartz; A transmission electron microscopy investigation. *Earth Planet. Sci. Lett.*, 106, 103–115.
- Grieve, R.A.F. (1982) The Vredefort structure still not understood. *Nature*, 295, 644–645.
- Grieve, R.A.F., Coderre, J.M., Robertson, P.B. and Alexopoulos, J. (1990) Microscopic planar deformation features in quartz of the Vredefort structure: Anomalous but still suggestive of an impact origin. *Tectonophysics*, 171, 185–200.

- Hargraves, R.B. (1961) Shatter cones in the rocks of the Vredefort ring. Trans. Geol. Soc. S. Afr., 64, 147 154.
- Hart, R.J., Nicolaysen, L.O. and Gale, N.H. (1981a) Radioelement concentrations in the deep profile through Precambrian basement of the Vredefort structure. *J. Geophys. Res.*, 86, 10639–10652.
- Hart, R.J., Welke, H.J. and Nicolaysen, L.O. (1981b) Geochronology of the deep profile through Archean basement at Vredefort, with implications for early crustal evolution. J. Geophys. Res., 86, 10663 10680.
- Hart, R.J., Andreoli, M.A.G., Tredoux, M. and De Wit, M.J. (1990) Geochemistry across an exposed section of Archaean crust at Vredefort, South Africa: With implications for mid-crustal discontinuities. *Chem. Geol.*, 82, 21 50.
- Hart, R.J., Andreoli, M.A.G., Reimold, W.U. and Tredoux, M. (1991) Aspects of the dynamic and thermal metamorphic history of the Vredefort cryptoexplosion structure: Implications for its origin. *Tectonophys*ics, 192, 313–331.
- Kamo, S.L., Reimold, W.U., Krogh, T.E. and Colliston, W.P. (1996) A 2.023 Ga age for the Vredefort impact event and a first report of shock metamorphosed zircons in pseudotachylitic breccias and Granophyre. *Earth Planet. Sci. Lett.*, 144, 369–387.
- Karson, J.A., Brooks, C.K., Storey, M. and Pringle, M.S. (1998) Tertiary faulting and pseudotachylytes in the East Greenland volcanic rifted margin: Seismogenic faulting during magmatic construction. *Geology*, 26, 39–42.
- Killick, A.M. (1994) The geochemistry of pseudotachylyte and its host rocks from the West Rand Goldfield, Witwatersrand Basin, South Africa: Implications for pseudotachylyte genesis. *Lithos*, 32, 193–205.
- Killick, A.M. and Reimold, W.U. (1990) Review of the pseudotachylites in and around the Vredefort 'Dome', South Africa. S. Afr. J. Geol., 93, 350 365.
- Killick, A.M. and Roering, C. (1995) The relative age of pseudotachylite formation in the West Rand region, Witwatersrand Basin, South Africa, as deduced from structural observations. S. Afr. J. Geol., 98, 78 81.
- Killick, A.M. and Roering, C. (1998) An estimate of the physical conditions of pseudotachylite formation in the West Rand Goldfield, Witwatersrand Basin, South Africa. *Tectonophysics*, 284, 247–259.
- Killick, A.M., Thwaites, A.M., Schoch, A.E. and Germs, G.J.B. (1986) A preliminary account of the tectonites near the interface between the Ventersdorp and Witwatersrand Supergroups, West Rand Area, South Africa. Ext. Abstr. Geocongr. '86, Geol. Soc. S. Afr., Johannesburg, 35–38.
- Killick, A.M., Thwaites, A.M., Germs, G.J.B. and Schoch, A.E. (1988) Pseudotachylite associated with a bedding-parallel fault zone between the Witwatersrand and Ventersdorp Supergroups, South Africa. Geol. Rundsch., 77, 329 344.
- Koeberl, C., Reimold, W.U. and Shirey, S.B (1996) Re-Os

- isotope and geochemical study of the Vredefort Granophyre: Clues to the origin of the Vredefort structure, South Africa. *Geology*, 24, 913–916.
- Lambert, P.(1981) Breccia dikes: Geological constraints on the formation of complex craters. *In* Schultz, P.H. and Merrill, R.B. eds.: *Multi-ring basins*. Proc. Lunar Planet. Sci., 12A, 59–78.
- Leroux, H., Reimold, W.U. and Doukhan, J.-C. (1994) A TEM investigation of shock metamorphism in quartz from the Vredefort dome, South Africa. *Tectonophysics*, 230, 223–239.
- Lilly, P.A. (1979) Coesite and stishovite in the Vredefort, South Africa. *Nature*, 277, 495–496.
- Lilly, P.A. (1981) Shock metamorphism in the Vredefort collar: Evidence for internal shock sources. *J. Geophys. Res.*, 86, 10689 10700.
- Manton, W.I. (1965) The orientation and origin of shatter cones in the Vredefort Ring. Ann. N.Y. Acad. Sci., 123, 1017-1049.
- Martini, J.E.J. (1978) Coesite and stishovite in the Vredefort Dome, South Africa. *Nature*, 272, 715 717.
- Martini, J.E.J. (1991) The nature, distribution and genesis of the coesite and stishovite associated with the pseudotachylite of the Vredefort Dome, South Africa. *Earth Planet. Sci. Lett.*, 103, 285–300.
- Martini, J.E.J. (1992) The metamorphic history of the Vredefort dome at approximately 2 Ga as revealed by coesite-stishovite-bearing pseudotachylites. *J. Metamorphic Geol.*, 10, 517–527.
- Masaytis, V.L. (1976) Astroblemes in the USSR. *Int. Geol. Rev.*, 18, 1249 1258.
- Masch, L. (1979) Deformation and fusion of two fault rocks in relation to their depth of formation: The hyalomylonite of Langtang (Himalaya) and the pseudotachylites of the Silvretta nappe (Eastern Alps). Proc. 8th Conf. on Analysis of Actual Fault Zones in Bedrock. U.S. Geol. Surv., Open-file Report 79-1239, 528 533.
- Masch, L., Wenk, H.R. and Preuss, E. (1985) Electron microscopy study of hyalomylonites Evidence for frictional melting in landslides. *Tectonophysics*, 115, 131 160.
- McCarthy, T.S., Charlesworth, E.G. and Stanistreet, I.G. (1986) Post-Transvaal structural features of the northern portion of the Witwatersrand Basin. *Trans. Geol. Soc. S. Afr.*, 89, 311–323.
- McKenzie, D. and Brune, J.N. (1972) Melting on fault planes during large earthquakes. *Geophys. J. R. Astr. Soc.*, 29, 65–78.
- Moser, D.E. (1997) Dating the shock wave and thermal imprint of the giant Vredefort impact, South Africa. *Geology*, 25, 7–10.
- Nicolaysen, L.O. (1990) The Vredefort structure: An introduction and a guide to recent literature. *Tectonophysics*, 171, 1 6.
- Nicolaysen, L.O. and Reimold, W.U. (1999) Vredefort shatter cones revisited. J. Geophys. Res., 104, 4911

- 4930.
- Obata, M. and Karato, S(1995) Ultramafic pseudotachylite from the Balmuccia peridotite, Ivrea-Verbano zone, northern Italy. *Tectonophysics*, 242, 313–328.
- Passchier, C.W. (1982) Pseudotachylyte and the development of ultramylonite bands in the Saint-Barthelemy Massif, French Pyrenees. J. Struct. Geol., 4, 69 79.
- Poldervaart, A. (1962) Notes on the Vredefort dome. Trans. Geol. Soc. S. Afr., 65, 231 248.
- Ray, S.K. (1999) Transformation of cataclastically deformed rocks to pseudotachylyte by pervasion of frictional melt: Inferences from clast-size analysis. *Tectonophysics*, 301, 283–304.
- Reimold, W.U. (1990) The controversial microdeformations in quartz from the Vredefort Structure, South Africa A discussion. S. Afr. J. Geol., 93, 645–663.
- Reimold, W.U(1991) The geochemistry of pseudotachylites from the Vredefort Dome, South Africa. *N. Jahrb. Miner. Abh.*, 162, 151–184.
- Reimold, W.U. (1994) Hydrothermal Witwatersrand gold mineralization caused by the Vredefort megaimpact event? *Lunar Planet. Inst. Contrib.*, 825, 92–93.
- Reimold, W.U. (1995) Pseudotachylite in impact structures Generation by friction melting and shock brecciation?: A review and discussion. *Earth-Sci. Rev.*, 39, 247 265.
- Reimold, W.U. (1998) Exogenic and endogenic breccias: A discussion of major problematics. *Earth-Sci. Rev.*, 43, 25–47.
- Reimold, W.U. and Colliston, W.P. (1994) Pseudotachylites of the Vredefort Dome and the surrounding Witwatersrand Basin, South Africa. *In Dressler*, B.O., Grieve, R.A.F. and Sharpton, V.L. eds.: *Large meteorite impacts and planetary evolution*. Geol. Soc. Am. Spec. Pap., 293, 177–196.
- Reimold, W.U. and Gibson, R.L. (1996) Geology and evolution of the Vredefort Impact Structure, South Africa. J. Afr. Earth Sci., 23, 125–162.
- Reimold, W.U. and Koeberl, C. (1991) Chemical relationships between Witwatersrand pseudotachylites and their host rocks: evidence for fault-controlled hydrothermal activity? *EUG VI, Terra Abstr.*, 3, 408.
- Reimold, W.U., Andreoli, M. and Hart, R. (1985)
 Pseudotachylite from the Vredefort Dome. *Lunar Planet. Sci.*, XVI, 691–692.
- Reimold, W.U., Fletcher, P., Snowden, P.A. and Wilson, J.D. (1986) Pseudotachylite A general Witwatersrand Basin phenomenon! *Lunar Planet. Sci.*, XVII, 701 702.
- Reimold, W.U., Oskierski, W. and Huth, J. (1987) The pseudotachylite from Champagnac in the Rochechouart meteorite crater, France. *J. Geophys. Res.*, 92, F737 F748
- Reimold, W.U., Jessberger, E.K. and Stephan, T. (1990) 40Ar. 39Ar dating of pseudotachylite from the Vredefort dome, South Africa: A progress report.

- Tectonophysics, 171, 139 152.
- Reimold, W.U., Colliston, W.P. and Wallmach, T(1992a)
 Comment on "The nature, distribution and genesis of
 the coesite and stishovite associated with the
 pseudotachylite of the Vredefort Dome, South Africa"
 by J.E.J. Martini. *Earth Planet. Sci. Lett.*, 112, 213–217.
- Reimold, W.U., Stephan, T. and Jessberger, E.K(1992b) Testing younger than 2 Ga ⁴⁰Ar-³⁹Ar ages for pseudotachylite from the Vredefort structure. *S. Afr. J. Sci.*, 88, 563 573.
- Reimold, W.U., Köberl, C., Fletcher, P., Killick, A.M. and Wilson, J.D. (1999) Pseudotachylitic breccias from fault zones in the Witwatersrand Basin, South Africa: Evidence of autometasomatism and post-brecciation alteration processes. *Mineral. Petrol.*, 66, 25–53.
- Scholz, C.H. (1980) Shear heating and the state of stress on faults. *J. Geophys. Res.*, 85, 6174 6184.
- Schreyer, W. (1983) Metamorphism and fluid inclusions in the basement of the Vredefort Dome, South Africa: Guidelines to the origin of the structure. *J. Petrol.*, 24, 26, 47.
- Schreyer, W. and Medenbach, O. (1981) CO₂-rich fluid inclusions along planar elements of quartz in basement rocks of the Vredefort Dome, South Africa. *Contrib. Miner. Petrol.*, 77, 93 100.
- Schwarzman, E.C., Meyer, C.E. and Wilshire, H.G(1983)
 Pseudotachylite from the Vredefort Ring, South
 Africa, and the origins of some lunar breccias. *Bull. Geol. Soc. Am.*, 94, 926–935.
- Shand, S.J. (1916) The pseudotachylyte of Parijs (Orange Free State), and its relationship to 'trapshotten gneiss' and 'flinty crush-rock'. *Quart. J. Geol. Soc. London*, 72, 198 221.
- Shimamoto, T. and Nagahama, H. (1992) An argument against the crush origin of pseudotachylytes based on the analysis of clast-size distribution. *J. Struct. Geol.*, 14, 999 1006.
- Sibson, R.H. (1975) Generation of pseudotachylyte by ancient seismic faulting. *Geophys. J. R. Astr. Soc.*, 43, 775 794.
- Sibson, R.H. (1980a) Transient discontinuities in ductile shear zones. *J. Struct. Geol.*, 2, 165–171.
- Sibson, R.H.(1980b) Power dissipation and stress levels on faults in the upper crust. *J. Geophys. Res.*, 85, 6239 6247.
- Simpson, C. (1978) The structure of the rim synclinorium of the Vredefort Dome. *Trans. Geol. Soc. S. Afr.*, 81, 115–121.
- Simpson, C. (1981) Occurrence and orientation of shatter cones in Pretoria Group quartzites in the collar of the Vredefort 'Dome': Impact origin precluded. J. Geophys. Res., 86, 10701 10706.
- Slawson, W.F. (1976) Vredefort core: A cross-section of the upper crust? *Geochim. Cosmochim. Acta*, 40, 117 121.
- Smit, P.J. (1986) 1: 250000 geological series 2626 Wes-Rand. Geological Survey, Republic of South Africa.

- Spray, J.G(1995) Pseudotachylyte controversy: Fact or friction? *Geology*, 23, 1119 1122.
- Spray, J.G. and Thompson, L.M. (1995) Friction melt distribution in a multi-ring impact basin. *Nature*, 373, 130–132.
- Spray, J.G., Kelley, S.P. and Reimold, W.U.(1995) Laser probe argon-40/argon-39 dating of coesite- and stishovite-bearing pseudotachylytes and the age of the Vredefort impact event. *Meteoritics*, 30, 335–343.
- Stepto, D. (1990) The geology and gravity field in the central core of the Vredefort structure. *Tectonophysics*, 171, 75 103.
- Techmer, K.S., Ahrendt, H. and Weber, K. (1992) The development of pseudotachylyte in the Ivrea-Verbano Zone of the Italian Alps. *Tectonophysics*, 204, 307 322.
- Therriault, A.M., Reimold, W.U. and Reid, A.M. (1996) Field relations and petrography of the Vredefort Granophyre. S. Afr. J. Geol., 99, 1 21.
- Thompson, L.M. and Spray, J.G. (1994) Pseudotachylytic rock distribution and genesis within the Sudbury impact structure. *In Dressler*, B.O., Grieve, R.A.F. and Sharpton, V.L. eds.: *Large meteorite impacts and planetary evolution*. Geol. Soc. Am. Spec. Pap., 293, 275–287.
- Trieloff, M., Reimold, W.U., Kunz, J., Boer, R.H. and Jessberger, E.K. (1994) ⁴⁰Ar-³⁹Ar thermochronology of pseudotachylite at the Ventersdorp Contact Reef, Witwatersrand basin. *S. Afr. J. Geol.*, 97, 365–384.
- Truter, F.C. (1936) Observations on the geology and tectonics of a portion of the Potchefstroom District. *Trans. Geol. Soc. S. Afr.*, 39, 441–456.
- Walraven, F., Armstrong, R.A. and Kruger, F.J. (1990) A chronostratigraphic framework for the northcentral Kaapvaal craton, the Bushveld Complex and the Vredefort structure. *Tectonophysics*, 171, 23 48.
- Wenk, H.R. (1978) Are pseudotachylites products of fracture or fusion? *Geology*, 6, 507–511.
- White, J.C. (1993) Shock-induced melting and silica polymorph formation, Vredefort Structure, South Africa. *In* Boland, J.N. and Fitz Gerald J.D. eds.: *Defects and processes in the solid state: Geoscience applications (The McLaren Volume)* Elsevier, Amsterdam, 69 84.
- White, J.C. (1996) Transient discontinuities revisited: Pseudotachylyte, plastic instability and the influence of low pore fluid pressure on deformation processes in the mid-crust. *J. Struct. Geol.*, 18, 1471–1486.
- Willemse, J. (1937) On the old granite of the Vredefort region and some of its associated rocks. *Trans. Geol. Soc. S. Afr.*, 40, 43 120.
- Wilshire, H.G. (1971) Pseudotachylite from the Vredefort ring, South Africa. J. Geol., 79, 195 206.

(2000年3月15日受付,2000年12月11日受理)